

矿井排水设备  
工业试验



## 内 容 提 要

书中介绍了水泵各种特性的测定方法及其改进意见，还讲述了排水设备工作特性曲线的绘制。

本书可供从事水泵试验的工作人员及研究人员参考。

1421

### 矿井排水设备工业试验

何 琪 编著

\*

煤炭工业出版社出版(社址：北京东长安街煤炭工业部)

北京市书刊出版业营业许可证字第084号

煤炭工业出版社印刷厂排印 新华书店发行

\*

开本 787×1092 公里<sup>1</sup>/<sub>2</sub> 印张 2<sup>7</sup>/<sub>16</sub> 插页 2 字数48,000

1960年2月北京第1版 1960年2月北京第1次印刷

统一书号：15035·1068 印数：0,001—4,000册 定价：0.36元

252·33

906

## 目 录

<b>第一章 概述</b>	3
<b>第二章 水泵特性測定</b>	5
S1. 流量測定(一)——机翼法	6
S2. 流量測定(二)——負压法	16
S3. 流量測定(三)——其他	25
S4. 揚程測定	48
S5. 水泵效率	50
S6. 汽蝕特性的测定	51
<b>第三章 管系特性測定</b>	54
<b>第四章 电动机特性測定</b>	57
S1. 固定損和轉子銅損	57
S2. 軸子輸入功率及 $\cos \varphi$	60
S3. 轉差率的測定	65
S4. 軸子輸出功率和电动机效率	67
<b>第五章 排水設備工作特性曲線的繪制</b>	69
S1. 水泵單独運轉特性曲綫	69
S2. 並聯運轉的特性曲綫	69
S3. 串聯運轉的特性曲綫	77

252·33

906

## 目 录

<b>第一章 概述</b>	3
<b>第二章 水泵特性測定</b>	5
S1. 流量測定(一)——机翼法	6
S2. 流量測定(二)——負压法	16
S3. 流量測定(三)——其他	25
S4. 揚程測定	48
S5. 水泵效率	50
S6. 汽蝕特性的测定	51
<b>第三章 管系特性測定</b>	54
<b>第四章 电动机特性測定</b>	57
S1. 固定損和轉子銅損	57
S2. 軸子輸入功率及 $\cos \varphi$	60
S3. 轉差率的測定	65
S4. 軸子輸出功率和电动机效率	67
<b>第五章 排水設備工作特性曲線的繪制</b>	69
S1. 水泵單独運轉特性曲綫	69
S2. 並聯運轉的特性曲綫	69
S3. 串聯運轉的特性曲綫	77



## 第一章 概 述

在提高排水效率、节约煤矿排水用费的工作中，矿井排水设备的工业试验具有重要意义。首先，当新排水系统投入“生产”时，必须经过全面性的测定试验，以鉴定其排水系统的布置和设备容量的配备等是否合理，如有不合理处，以便及时调整和修改；同时也为正式运转后在选择经济工作范围上作出可靠的根据。对已有的排水设备，在每次大修前后，也应全面性的试验，以鉴定大修质量，总结检修经验，为进一步改进检修工作建立有力的基础。此外在日常运转中，为了掌握排水设备工作性能的变化情况（如水泵磨损、水管积泥……等等），以便及时提出处理措施，阻止效率下降，更必须对主要排水设备进行经常监督性的试验。监督性的试验可在日常工作点上进行，鉴定性的试验则必须进行全部工作点的测定，作出排水设备的以下基本特性曲线：

1. 流量—扬程曲线( $Q-H$ )；
2. 流量—功率曲线( $Q-N$ )；
3. 流量—水泵效率曲线( $Q-\eta_w$ )；
4. 流量—管道阻力曲线( $Q-\phi(Q^2)$ )；
5. 流量—汽蚀特性曲线( $Q-H_{ns}$ )；
6. 电动机效率曲线（对应于流量或功率）；
7.  $\cos \varphi$  曲线（对应于流量或功率）。

其中汽蚀特性曲线在安装前测一次即可，以后一般可以不

再測。但运行中对水輪等水泵的主要部件經過設計修改后仍應重測，据此以確定吸水管高度是否應調整。

測定試驗时应注意以下几方面的工作，以减少和避免測定操作时可能导致的誤差。

首先，每一排水系統的全部排水設備——电机、水泵管路必須同时一起試驗，每一測定点所有讀數均应代表同一时刻的運轉情況。为了避免瞬時誤差，每一測定点試驗的時間至少应有水流流經管路三倍所需的时间，即  $T = 3t$ ， $t$  为水流流經全部管路所需的时间， $T$  为每点測定时间。讀數取該時間內最稳定的數值除汽蝕特性曲綫外。測时排水設備運轉環境必須和实际工作環境完全相同。一部分矿井为了便于在泵房內或泵房附近測流量，往往临时断开大部分管路，另走特定試驗管測定，这样所測結果会得出与事實不符的結論，故應避免。

其次，对水泵軸功率即电机(轉子)輸出功率一般均以电机輸入功率与电机銘牌效率直接算得，即：

$$N = \eta_{\text{A}} P$$

式中  $N$  —— 电机輸出功率；

$\eta_{\text{A}}$  —— 电机銘牌效率；

$P$  —— 电机輸入功率。

这样算法是不正确的，因为电机效率在不同負荷时各有变化，而且銘牌效率对使用較久和經过大修的电机即使在額定負荷时也不一定还有代表意义，为此应按第四章所述另詳細測定。

一般矿水在井下溫度变化較少，測时对水溫的影响可

不考慮。但对泥漿、“矿杂”含量較多的矿水应先测知比重，不能以普通清水比重代之計算矿水比重。根据我国矿井条件一般約在  $1010 \sim 1030$  公斤/立方米之間，故其影响不宜忽略。

測时采用关闭排水閥門調節流量。流量調節由大而小，即水門由全开而漸漸关闭，这样在操作上比由关而开较为方便，在精确度上也比后者为高。每一水泵在鑑定性試驗时至少应有5~8个測点，即調節流量5~8次。

轉數最好不要用轉數表測，轉數表指示中差四、五圈时，根本反映不出来，何况經使用后它本身又常常容易损坏，使指示轉數与实际轉數会有不少誤差，为此建議采用第四章 § 3所述方法精确測得。

## 第二章 水泵特性測定

水泵測定中，流量測定的改进是当前簡化矿井排水設备試驗和提高試驗精确度的主要关键，对此我們的要求是：

(一) 在泵房內測流量，以减少目前測时需人較多、各处一方，彼此联系不方便。并将日常监督性試驗工作交由司机去执行，作为日常运行的重要数据之一，逐日填記。

(二) 測知并联运转的每台水泵的排水量；以便比較并联运转的經濟意义。

(三) 尽量减少和避免測定仪表对管路所增加的額外阻力，使測得結果能完全反映实际工作情况。

#### (四) 保証工业需要上最高的精确度。

为此我們在水泵特性測定中对流量的測定作了較多的探討。不少文献中多推荐用水池測流量，根据我們实际使用后的体会，覺得水池法不是我們发展的方向。因为，这种方法除了对上述所提要求大部分不能滿足外，更主要的是水池一般多为固定建筑，建設費用大，維护困难，利用率低。鑑于用水池測流量无需作較多的中間理論計算，故本書对此不再詳細討論。

### § 1. 流量測定(一)——机翼法

用机翼測流量可以較完善地滿足矿井排水设备測定中几个特殊的要求：

1. 在并联运转中测知每台工作水泵实际流量，以比較并联运转的經濟意义；

2. 能裝在泵房內測流量，以簡化水泵測定手續，并可长期經常裝用，使司机能經常检查水泵实际排水量以及时掌握水泵效率变化情况提出水泵检修意見。

测流机翼如图1，翼面有測压孔，以細管經由机翼内部孔道和空心翼柄外接压力指示器，如图2，測压孔数可根据实际情况自4至9内任意取定，翼面孔口直径不宜大于4毫米，压力指示

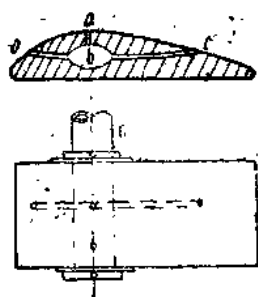


图 1 测流机翼  
a—测压孔；b—孔道；  
c—翼柄。

器“a”(图2)分别指示翼面相应测压孔口之静压，“b”指示水管内流速未受机翼影响处之静压。机翼在水管内与水管中心线(即来流方向)所成攻角可在 $0^\circ \sim 30^\circ$ 内调整，大角测量流速较小之水流，小角测流速较大之水流，由此可以灵敏地测得水泵流量曲线上全部工作点。

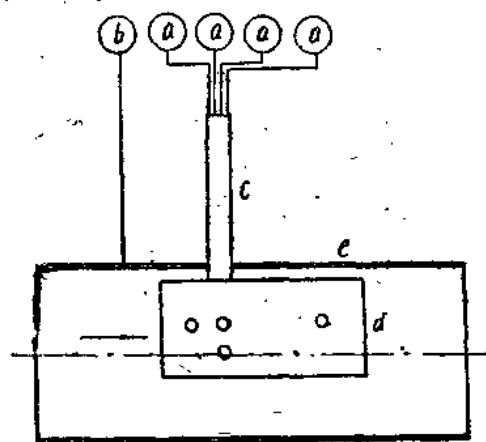


图2 测流机翼装置原则系统图

a、b—压力指示器；c—真柄；d—机翼；e—水管。

水管内装上机翼后水头损失很少，经用节流孔口模板，文特里管和机翼分别在 $\phi 380$ 毫米同一水管内测定流量均为9.5立方米/分的同一水流，所生水头损失为：

节流板	43毫米水银柱
-----	---------

文特里管	9.3毫米水银柱
------	----------

机翼	0.1毫米水银柱
----	----------

在一般矿井排水设备中装置机翼后所生阻力损失实际

很小，可以忽略不計，故可长期装在水管中使用。机翼可以装在管路上任何地段，无论前后水管有无弯曲，有无阻力装置（如閥門等）几乎平均不影响其測定效果，而裝在90°弯管后指示尤为灵敏。

图3为开灤煤矿最新設計之KL-I型机翼測水仪本体构造图，图中：

机翼形状可用多种构图函数繪制，其中适于矿用水流測流的可取：

$$\xi + i\eta = \frac{1.9a \left[ 1 + \left( \frac{Re^{i\theta} + a}{Re^{i\theta} - a} \right)^{1.9} \right]}{\left( \frac{Re^{i\theta} + a}{Re^{i\theta} - a} \right)^{1.9} - 1} \quad (1)$$

式中  $\xi + i\eta$  —— 为图4  $\xi + i\eta$  坐标面上翼緣点  $\zeta(\xi, \eta)$ 。

$Re^{i\theta}$  —— 为图4 极坐标上极角为  $\theta$  在C圆上之任意点（如图中之z），它按构造图函数投射至  $\xi - \eta$  坐标面上，即为翼緣点  $\zeta(\xi, \eta)$ 。R为C圆上各点至K圆圆心“O”的距离。

a —— 为图4 K圆半径。

从式(1)解之得：

$$\xi = f(R, \theta) \quad (2)$$

$$\eta = \phi(R, \theta) \quad (3)$$

据此即可进行設計計算：取  $a = \frac{D}{4}$ ，D为水管直径，以a为半径，在极座标面上作圆K（图4）。再在同一坐标面上作  $\xi - \eta$  直角坐标系， $\xi$  軸与极坐标之始动融合一，在  $\xi$  軸上取綫段

$OA = 1.9a$ ; A 点即为机翼翼弦的终点，在 $\eta$ 轴上取 l 点使  
 $ol = \frac{a}{6.9}$ ，连  $K'l$  交圆于 K' 点，延长  $K'l$  至 m 使  $lm = \frac{a}{7.6}$ 。  
 然后以 m 点为圆心，  $K'm$  为半径，在极坐标面上作圆 C，  
 最后将 C 圆圆周各点分别按其极角  $\theta$  与至 O 点距离 R 代入式  
 (2)(8)，得相应的  $\xi, \eta$  值，画在  $\xi - \eta$  坐标面上，连之即得所求机翼。机翼上之测孔应布置在上翼缘孔口直径以 3 毫米左右为宜。

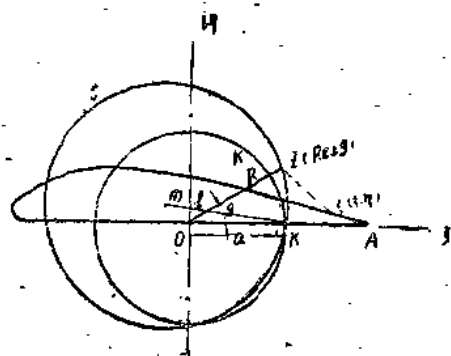


图 4

繪制机翼时上述  $ol, K'l, lm$  各值可根据需要另予适当变动，不必拘于上述比值，但不宜按此作过大的变动。

KL-I型机翼测水仪所用机翼如图 5。机翼上螺塔如图 6、7。

流量計算，設：

$V, P$ ——分别为流速(米/秒)和静压(公斤/平方米)。

註号“O”和 $(\xi, \eta)$  分别表示管内常态和測

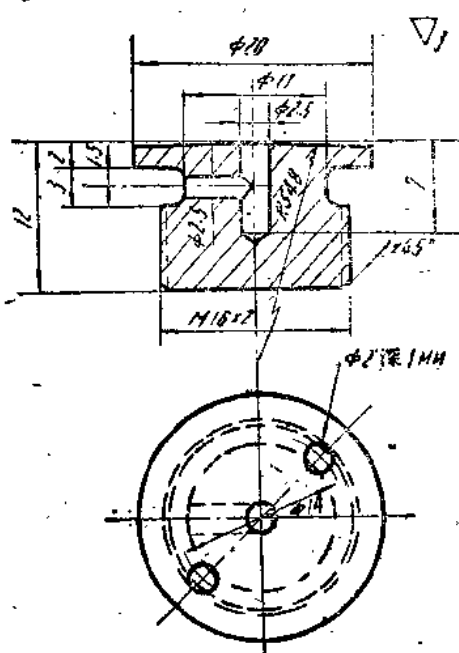


图 6 KL-I型电机堵头

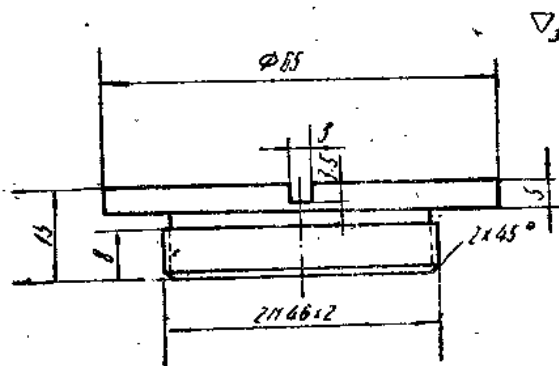


图 7 KL-I型电机堵堵

孔点 $\zeta(\xi, \eta)$ 处之情况如图 8。

$z$ ——为图 4 孔口 $\zeta(\xi, \eta)$ 在 C 圆上之相应点其坐标为 $zCR e^{i\theta}$ )。

$V(R, \theta)$ ——为图 4  $z$ 点之切向流速,

则由流动复势, 可得:

$$V(\zeta, \eta) = \frac{V(R, \theta)}{\frac{dz}{d\zeta}}$$



图 8

$$\zeta = \frac{1.9a \left[ 1 + \left( \frac{z+a}{z-a} \right)^{1.9} \right]}{\left( \frac{z+a}{z-a} \right)^{1.9} - 1}$$

故:

$$\begin{aligned} \frac{dz}{d\zeta} &= \frac{\left[ \left( \frac{z+a}{z-a} \right)^{1.9} - 1 \right] \cdot 1.9a \left[ \frac{d}{dz} \left( \frac{z+a}{z-a} \right)^{1.9} \right]}{\left[ \left( \frac{z+a}{z-a} \right)^{1.9} - 1 \right]^2} \\ &= 1.9a \left[ 1 + \left( \frac{z+a}{z-a} \right)^{1.9} \right] \times \frac{d}{dz} \left( \frac{z+a}{z-a} \right)^{1.9} \\ &= 1.9a \left\{ \frac{\left[ \left( \frac{z+a}{z-a} \right)^{1.9} - 1 \right] \cdot 1.9 \cdot \frac{(z+a)^{0.9}}{(z-a)^2}}{\left[ \left( \frac{z+a}{z-a} \right)^{1.9} - 1 \right]^2} \right. \\ &\quad \left. - \frac{(z-a) - (z+a)}{(z-a)^2} \cdot \left[ 1 + \left( \frac{z+a}{z-a} \right)^{1.9} \right] \right\}. \end{aligned}$$

$$\begin{aligned}
& \left. \cdot 1.9 \left( \frac{z+a}{z-a} \right)^{0.9} \cdot \frac{(z-a) - (z+a)}{(z-a)^2} \right\} \\
& = 1.9a \left\{ \left[ \left( \frac{z+a}{z-a} \right)^{1.9} - 1 \right] \cdot \frac{-2 \times 1.9a(z+a)^{0.9}}{(z-a)^2} + \right. \\
& \quad \left. + \left[ 1 + \left( \frac{z+a}{z-a} \right)^{1.9} \right] \frac{2 \times 1.9a(z+a)^{0.9}}{(z-a)^2} \right\} \\
& = 2 \times 1.9^2 a^2 \left[ \frac{(z+a)^{0.9}}{(z-a)^{2.9}} \right] \cdot \frac{2}{\left[ \left( \frac{z+a}{z-a} \right)^{1.9} - 1 \right]^2} \\
& = \frac{14.4a^2 \left[ \frac{(z+a)^{0.9}}{(z-a)^{2.9}} \right]}{\left[ \left( \frac{z+a}{z-a} \right)^{1.9} - 1 \right]^2}
\end{aligned}$$

从流动复数又可导得：

$$\begin{aligned}
F &= 4\pi V_0 \sin(\beta - \delta) \\
V(R, \theta) &= 2V_0 \sin \theta + \frac{F}{2\pi a_1} \\
&= 2V_0 \sin \theta + \frac{2V_0 \sin(\beta - \delta)}{a_1}
\end{aligned}$$

式中符号如图9

故：

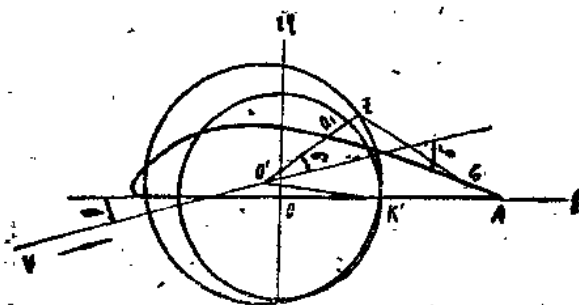


图 9

$$V(\xi, \eta) = \frac{V(R, \theta)}{\frac{d\zeta}{dz}}$$

$$= \frac{2V_0 \sin \theta + \frac{2V_0 \sin(\beta - \delta)}{a_1}}{14.4a^2 \left[ \frac{(z+a)^{0.9}}{(z-a)^{3.9}} \right] \left[ \left( \frac{z+a}{z-a} \right)^{1.9} - 1 \right]^2} \quad (4)$$

按能量定律得：

$$V_0 = \sqrt{C_V V^2(\xi, \eta) + \frac{[(P(\xi, \eta) - P_0)2g]}{\gamma}}$$

$$= \sqrt{C_V \left\{ \frac{2V_0 \sin \theta + \frac{2V_0 \sin(\beta - \delta)}{a_1}}{\frac{d\zeta}{dz}} \right\}^2 + \frac{[(P(\xi, \eta) - P_0)2g]}{\gamma}}$$

$$V_0^2 = 4V_0^2 C_v \left\{ \frac{\sin \theta + \frac{\sin(\beta - \delta)}{a_1}}{\frac{d\zeta}{dx}} \right\}^2 + \frac{(P(\zeta, \eta) - P_0)2g}{\gamma}$$

$$V_0^2 \left\{ 1 - 4 C_v \left\{ \frac{\sin \theta + \frac{\sin(\beta - \delta)}{a_1}}{\frac{d\zeta}{dx}} \right\}^2 \right\} = \frac{(P(\zeta, \eta) - P_0)2g}{\gamma}$$

$$V_0 = \sqrt{\frac{(P(\zeta, \eta) - P_0)2g \times \frac{1}{\gamma}}{1 - 4 C_v \left\{ \frac{\sin \theta + \frac{\sin(\beta - \delta)}{a_1}}{\frac{d\zeta}{dx}} \right\}^2}}$$

从而流量:

$$Q = 208 D^2 \left[ \frac{(P(\zeta, \eta) - P_0) \frac{1}{\gamma}}{1 - 4 C_v \left\{ \frac{\sin \theta + \frac{\sin(\beta - \delta)}{a_1}}{\frac{d\zeta}{dx}} \right\}^2} \right] \quad (5)$$

式中  $Q$  —— 流量( $\text{CM}^3/\text{分}$ );

$D$  —— 水管直径( $\text{M}$ );

$\gamma$  —— 矿水比重( $\text{kg}/\text{M}^3$ );

$C_v$  —— 阻力改正系数, 其值可从  $\beta - C_v$  曲线图上查得(图10)。

$\beta - C_v$  曲线图可按下法制取: